

همسانه سازی، شناسایی و بررسی خصوصیات بیوشیمیایی و روند تکامل ژنتیکی یک ژن تیوردوکسین / از گیاه انگور بیدانه سفید

رضا حیدری حاپلقی^۱، رحیم حداد^{۲*} و قاسمعلی گروسی^۳

۱، ۲، ۳، دانشجوی سابق کارشناسی ارشد، دانشیار و استادیار، گروه بیوتکنولوژی کشاورزی، دانشکده فنی

و مهندسی، دانشگاه بین‌المللی امام خمینی (ره)، قزوین

(تاریخ دریافت: ۹۰/۵/۱۳ - تاریخ تصویب: ۹۰/۱۰/۱۸)

چکیده

تیوردوکسین‌ها (Trxs) پروتئین‌های کوچک و مقاوم در برابر حرارت هستند که در حفظ تعادل شرایط اکسیداسیون-احیاء (Redox) سلولی دخالت داشته و در تمام موجودات زنده از پروکاریوت‌ها تا یوکاریوت‌های عالی وجود دارند. در گیاهان عالی، تیوردوکسین‌ها به شش گروه مختلف، شامل تیوردوکسین‌های کلروپلاستی m , x و y , تیوردوکسین میتوکندریالی o و تیوردوکسین‌های h تقسیم‌بندی می‌شوند. تیوردوکسین‌های h با داشتن یک خانواده چند ژنی کوچک در فرآیندهای متعددی از جمله محافظت سلولی در برابر تنش اکسنده دخالت می‌کنند. cDNA کدکننده ژن تیوردوکسین h (VvTrxh3) از بافت برگ گیاه انگور بیدانه سفید (*Vitis vinifera L. Bidaneh Sefid*)، با استفاده از تکنیک واکنش زنجیره‌ای پلیمراز ساخه‌برداری معکوس (RT-PCR) جداسازی و همسانه‌سازی شده و خصوصیات بیوشیمیایی، ساختاری و روند تکامل ژنتیکی آن مورد بررسی قرار گرفت. بررسی توالی نوکلئوتیدی نشان داد که چارچوب باز خواندنی ژن همسانه‌سازی شده VvTrxh3 به طول ۳۴۵ bp بوده و یک پروتئین با ۱۱۴ اسید‌آمینه را کد می‌کند. همچنین بررسی توالی پروتئینی این ژن نشان داد که جایگاه فعال آن به صورت WCGPC بوده و وزن مولکولی محاسبه شده و نقطه آیزووالکتریک پیش‌بینی شده آن به ترتیب برابر ۱۲/۷۹ کیلو دالتون و ۵/۰۶ دارای ساختار سه بعدی مختص پروتئین‌های تیوردوکسین، تحت عنوان Thioredoxin Fold می‌باشد. بررسی‌های فیلوزنوتیکی و هم‌دیف‌سازی چندگانه نشان داد که این ژن، تیوردوکسین نوع h و متعلق به زیرکلاس IA از زیرگروه I بوده و شباهت زیادی با تیوردوکسین‌های h گیاهان دیگر دارد.

واژه‌های کلیدی: تیوردوکسین ردوکتاز، تیوردوکسین، تنش اکسنده، شاخص آب گریزی، ساختار سه بعدی.

زنده از پروکاریوت‌ها تا یوکاریوت‌های عالی وجود دارند. در گیاهان عالی، بر اساس تجزیه و تحلیل ساختار اولیه پروتئینی و موقعیت زیرسلولی، تیوردوکسین‌ها به شش گروه اصلی تقسیم‌بندی می‌شوند که عبارتند از: تیوردوکسین‌های m , h , x و y (Gelhaye et al., ۲۰۱۷).

مقدمه

تیوردوکسین‌ها (Trxs) پروتئین‌های کوچک (۱۲ تا ۱۳ کیلو دالتون) و مقاوم در برابر حرارت هستند که در حفظ تعادل شرایط اکسیداسیون-احیاء (Redox) سلولی دخالت داشته و به فراوانی در تمام موجودات

(Mousavi et al., 2010) عمده مطالعات صورت گرفته در زمینه بررسی نقش حیاتی تیوردوکسین‌های نوع *h* در فرآیند جوانه‌زنی بذور غلات و القاء آن‌ها در واکنش به تنش‌های زنده، غیر زنده و بویژه تنش اکسیده می‌باشد. پژوهش‌های انجام شده روی فرآیند جوانه‌زنی بذور غلات نشان داده است که این فرآیند با تغییرات گستردگی در وضعیت اکسیداسیون-احیاء پروتئین‌های بذر همراه می‌باشد، به طوری که با دخالت تیوردوکسین‌های نوع *h*، پروتئین‌های موجود به شکل اکسید شده در بذور خشک و رسیده، پس از جذب آب توسط بذر به حالت احیاء شده درآمده و موجب جوانه‌زنی بذر می‌شود (Serrato et al., 2001; Serrato & Cejudo, 2003; Alkhlioufi et al., 2007).

همچنین در بررسی‌های انجام شده روی گیاهان آرابیدوپسیس (*Arabidopsis thaliana*) و گندم (*Triticum aestivum*) تیوردوکسین نوع *h* در اثر زخم‌شدنگی، پیری، آسودگی با عامل بیماری‌زا قارچی و تنش‌های شوری، گرمایی و اکسیده به میزان زیادی در بافت‌های مختلف القا می‌شوند (Reichheld et al., 2002; Laloi et al., 2004;

Cazalis et al., 2006; Park et al., 2009)

با توجه به تنوع، گستردگی و دخالت تیوردوکسین‌ها در فرآیندهای متعدد سلولی در گیاهان، شناسایی، همسانه‌سازی و بررسی فعالیت کاتالیتیکی آن‌ها در گیاهان زراعی و باگی توصیه شده تا به دیدگاه مناسبی از این پروتئین‌های کوچک، فراوان و مقاوم در برابر حرارت دست یافت و نهایتاً بتوان گیاهانی متحمل به تنش‌های محیطی تولید نمود. این تحقیق با هدف جداسازی و همسانه‌سازی یک توالی کامل cDNA رمز کننده تیوردوکسین نوع *h*، تحت عنوان *VvTrxh3* از بافت برگ انگور بیدانه سفید، انجام گردید تا بتوان در پژوهش‌های آتی از آن در جهت تولید گیاهان زراعی و باگی متحمل به تنش‌های زنده و غیرزنده استفاده نمود.

مواد و روش‌ها

مواد گیاهی و نمونه برداری

بافت برگی در مرحله جوانی از گیاه انگور بیدانه (*Vitis vinifera* L. cv. Bidaneh Sefid) از

2005). تیوردوکسین‌های *m* و *y* منشأ پروکاریوتی دارند، اما تیوردوکسین‌های *g* و *o* ویژه موجودات یوکاریوتی می‌باشند (Gelhaye et al., 2004a). تیوردوکسین‌های *g*, *m* و *y* درون کلروپلاست‌ها قرار داشته، در هسته کد شده و به وسیله آنزیم فردوکسین-تیوردوکسین ردوکتاز (FTR) احیاء می‌شوند (Lemaire et al., 2007). تیوردوکسین *o* درون میتوکندری قرار داشته و دارای یک انتهای آمینو با طول زیاد می‌باشد که به نظر می‌رسد به عنوان یک پپتید راهنمای انتقال به درون میتوکندری عمل می‌نماید (Laloi et al., 2001). تیوردوکسین *h* با داشتن انتهای آمینوی گستردگی، درون سیتوزول، میتوکندری و شبکه آندوپلاسمی سلول قرار داشته و همانند تیوردوکسین *o* (NTR) توسط آنزیم NADPH-تیوردوکسین ردوکتاز Gelhaye et al., 2005; Meyer et al., 2008) احیاء می‌شوند (). تیوردوکسین‌های نوع *h* بر اساس ساختار اولیه پروتئینی به سه زیرگروه مختلف I, II و III تقسیم‌بندی می‌شوند (Gelhaye et al., 2004a). زیرگروه‌های I و II توسط آنزیم NTR احیاء شده در حالی که احیاء زیرگروه III وابسته به سیستم گلوتاتیون/اگلوتاردوکسین می‌باشد (Gelhaye et al., 2003). مطالعات پروتئومیکس نشان می‌دهد که تیوردوکسین‌های نوع *h* در فرآیندهای متعدد سلولی دخالت دارند. علاوه بر نقش آن‌ها در محافظت سلولی در برابر تنش‌های زنده، غیر زنده و اکسیده (Reichheld et al., 2002; Laloi et al., 2004; Cazalis et al., 2006)، این پروتئین‌ها در شکسته شدن منبع غذایی بذر، جوانه‌زنی بذور غلات، تغذیه و رشد گیاهک (Serrato et al., 2001; Serrato & Cejudo, 2003)، خودناسازگاری (Haffani et al., 2004)، توسعه سلولی (Juttner et al., 2000) و کاهش حساسیت و سمیت پروتئین‌های حساسیت زا و سمی (Joudrier et al., 2005) نقش دارند.

تا کنون مطالعات گستردگی روى خانواده چند ژنی تیوردوکسین‌های نوع *h* انجام شده است. علاوه بر جداسازی، همسانه‌سازی و بررسی ویژگی‌های کاتالیتیکی پروتئین‌های کد شده توسط ژن‌های تیوردوکسین نوع *h* در گیاهان مختلف (Juttner et al., 2000; Gelhaye et al., 2003; Maeda et al., 2003;

سنتز cDNA و اکنش RT-PCR

واکنش نسخه‌برداری معکوس با استفاده از 5^{\prime} م محلول RNA کل تیمار شده با آنزیم I DNase RevertAidTM (Fermentas)، آنزیم نسخه‌بردار معکوس Oligo dT (18) (Fermentas) M-MuiV آغازگرهای (Qiagen) mer در دمای ۴۲ درجه سانتی‌گراد به مدت یک ساعت انجام شده و پس از آن، عمل غیر فعال سازی آنزیم نسخه‌بردار معکوس (RT) در دمای ۷۰ درجه سانتی‌گراد به مدت ۱۰ دقیقه انجام گرفت. بدین ترتیب رشته اول مولکول cDNA ساخته شده و از این مولکول RT-PCR به عنوان الگو در واکنش RNA-DNA استفاده گردید. واکنش RT-PCR به منظور تکثیر ژن VvTrxh3 با استفاده از آنزیم *Pfu* (Fermentas) و آغازگرهای اولیگونوکلئوتیدی طراحی شده بر اساس توالی تظاهر یافته برقسبدار (EST: CB348011) شناسایی شده با برنامه BLAST انجام شد.

آغازگرهای اختصاصی با توالی‌های ۵'-TACGGATCCATGGCGGAAGAGGGACAA-۳' (آغازگر رفت، مطابق با توالی اسیدآمینه‌ای MAEEQQ) و ۵'-ATCGGATCCTCAAGCAGTTGCATGCTTCTC-۳' (آغازگر برگشت، مطابق با توالی اسیدآمینه‌ای TEKHATA) که شامل سه نوکلئوتید اضافی و جایگاه شناسایی آنزیم برشی *BamHI* در انتهای ۵' بودند، سنتز شدند. واکنش RT-PCR در ۳۵ چرخه دمایی انجام شد که شرایط دمایی و زمانی هر چرخه شامل: مرحله واسرشتنگی در دمای ۹۴ درجه سانتی‌گراد به مدت ۳۰ دقیقه، مرحله اتصال در دمای ۵۸ درجه سانتی‌گراد به مدت یک دقیقه و مرحله تکثیر در دمای ۷۲ درجه سانتی‌گراد به مدت یک دقیقه بود. همچنین مرحله واسرشتنگی اولیه در دمای ۹۴ درجه سانتی‌گراد به مدت ۳ دقیقه و مرحله تکثیر نهایی در دمای ۷۲ درجه سانتی‌گراد به مدت ۱۰ دقیقه انجام گرفت.

همسانه سازی و توالی‌یابی cDNA و VvTrxh3

پس از خالص‌سازی محصول RT-PCR از روی ژل با استفاده از کیت استخراج اسید نوکلئیک GF-1 PCR Clean Up Kit (Vivantis)، ژن مورد نظر و ناقل پلاسمیدی pUC19 (Fermentas) توسط آنزیم برشی *BamHI* (Fermentas) هضم گردیده و مجدداً

کلکسیون انگور در ایستگاه تحقیقات انگور تاکستان، وابسته به مرکز تحقیقات کشاورزی و منابع طبیعی استان قزوین، جمع‌آوری و در همان محل، پس از توزین به مقدار ۱ گرم، درون ورقه‌های آلومینیومی بسته‌بندی شده و بلا فاصله درون ازت مایع ثبیت گردید. نمونه‌ها سریعاً به آزمایشگاه انتقال داده شده و در دمای -۸۰ درجه سانتی‌گراد تا زمان استفاده، نگهداری شدند.

استخراج RNA کل

جهت استخراج RNA کل از یک روش بهینه شده در مقیاس کوچک، مبتنی بر CTAB، که تغییر یافته روش Reid et al. (2006) می‌باشد، استفاده شد.

بافت مورد نظر با استفاده از هاون و ازت مایع به صورت پودر درآمده و به میزان ۵٪ ۰/۰ گرم به یک تیوب ۳۰۰mM Tris-HCl ۱ حاوی ml باف استخراج (pH 8, 25mM EDTA pH 8, 2% PVP, 2% CTAB, ۲M NaCl, 2% β-mercaptoethanol (2M) اضافه گردید. تیوب‌ها به مدت ۳۰ دقیقه در حمام آب گرم (-Techne، انگلستان) با دمای ۶۵ درجه سانتی‌گراد قرار داده شده و هر ۵ دقیقه به آرامی ورتسکس (-Techne، انگلستان) گردیدند. سپس پروتئین‌ها دو مرتبه با یک حجم برابر از کلروفرم: ایزوآمیل الکل (۷/۷) (۲۴:۱) حذف گردیده و لایه بالایی به یک تیوب جدید منتقل گردیده و ۱۰٪ حجم سدیم استات ۳ M و ۰/۶ حجم ایزوپروپانول به آن افزوده و به مدت ۳۰ دقیقه در دمای -۸۰ درجه سانتی‌گراد نگهداری گردید. رسوب اسید نوکلئیک به وسیله سانتریفیوژ (Hettich-D78532) آلمان) با سرعت بیشینه جمع‌آوری و در آب DEPC شده حل گردید.

در مرحله بعد ۰/۳۰ حجم لیتیوم کلراید M ۸ به نمونه‌ها اضافه گردیده و تیوب‌ها به مدت یک شب در دمای ۴ درجه سانتی‌گراد نگهداری شدند. سپس RNA کل به وسیله سانتریفیوژ با سرعت بیشینه رسوب و با استفاده از الکل اتانول ۷۰٪ شسته شده و در مقدار مناسب آب DEPC شده حل گردید. در نهایت، کمیت و کیفیت RNA کل استخراجی با استفاده از دستگاه اسپکتروفوتومتر UVD3200 (Labomed-، انگلستان) در طول موج‌های ۲۳۰، ۲۶۰ و ۲۸۰ نانومتر و الکتروفورز ژل آگاروز ۱/۲٪ مورد بررسی قرار گرفت.

Ath1 از گیاه مدل آربیدوپسیس (PDB ID 1xf1A) (Peterson et al., 2005) به عنوان الگو و بوسیله برنامه I-TASSER (Zhang, 2008) مورد پیش‌بینی قرار گرفت. بررسی چندگانه ساختارهای سه بعدی Homo sapiens (Weichsel et al., 1996) (sapiens: PDB ID 1ertA (PDB ID 2trxA) E. coli) و Ath1 (Katti et al., 1990) پروتئین تیوردوکسین از گیاه مدل آربیدوپسیس 3-Dimensional Structural (3d-SS) با استفاده از برنامه (Russell et al., 1992) (Superposition) انجام شد. همچنین اسیدهای آمینه مهم از نظر ساختاری و فعالیت (Ashkenazy et al., Conseq 2008) (Nimrod et al., 2010) PatchFinder در توالی پروتئینی ژن VvTrxh3 شناسایی شدند.

شماره دستیابی توالی‌های پروتئینی مورد استفاده
شماره دستیابی توالی‌های پروتئینی موجود در پایگاه‌های اطلاعات توالی NCBI، SwissProt و EMBL که برای بررسی‌های همردیفسازی چندگانه و روابط فیلوجنتیکی مورد استفاده قرار گرفتند، عبارتند از: آربیدوپسیس (At3g51030) Ath1 (A. thaliana) (At3g51030) Ath1 (At5g42980) Ath3 (At5g39950) Ath2 (At5g45145) Ath5 (At1g19730) Ath9 (At1g69880) Ath8 (At1g59730) AtCxxS2 (At1g11530) AtCxxS1 (At3g08710) Ato1 (At3g56420) AtCxxC2 (At2g40790) Atm1 (At1g31020) Ato2 (At2g35010) Atm3 (At4g03520) Atm2 (At1g03680) Atf1 (At3g15360) Atm4 (At2g15570) Atx (At5g16400) Atf2 (At3g02730) Aty2 (At1g76760) Aty1 (At1g50320) Vvh1 (V. vinifera) انگور (At1g43560) VvTrxh3 (HM370525) Vvh2 (HM370524) Vvh5 (HM370527) Vvh4 (HM370526) Vvh10 (CB004453) Vvh6 (CF513794) (EU280164) VvCxxS1 (HM622264) صنوبر (BU822062) Pth3 (Populus trichocarpa) گندم (CD886902) Tah1 (T. aestivum) (CD892602) Tah2 (CD892602) جو (BJ210524) Tah3 (CD892602)

خالص‌سازی شدن. سپس واکنش اتصال با استفاده از آنزیم DNA لیگاز T4 (Fermentas) به منظور تولید پلاسمید نوترکیب pUC19-VvTrxh3 انجام گرفت. پس از تهیه سلول‌های مستعد اشتریشیاکلی (Escherichia coli) سویه DH5α، انتقال پلاسمید حاوی ژن با استفاده از تکنیک شوک حرارتی انجام گرفته و باکتری‌ها روی محیط کشت جامد SOB حاوی آنتی‌بیوتیک آمپی‌سیلین به منظور انجام آزمون سفید-آبی کشت شدند (Sambrook & Russell, 2001). در مرحله بعد تعدادی کلونی سفید به عنوان کلونی‌های نوترکیب، انتخاب و مورد بررسی دقیق‌تر قرار گرفتند. در نهایت، استخراج پلاسمیدهای نوترکیب با استفاده از روش Sambrook & Russel (2001) و کلونی‌های نوترکیب با استفاده از دو تکنیک PCR و هضم آنزیمی مورد بررسی قرار گرفتند. توالی‌بایی DNA پلاسمید نوترکیب با استفاده از آغازگرهای راهانداز باکتریوفاژ T7 در دو جهت رفت و برگشت توسط شرکت Seqlab (Laboratories Gottingen آلمان، انجام شد.

بررسی توالی

توالی نوکلئوتیدی حاصل از توالی‌بایی با استفاده از برنامه Translate مورد ترجمه قرار گرفته و خصوصیات بیوشیمیابی و ساختاری توالی اسید‌آمینه‌ای بدست آمده با استفاده از برنامه‌های ProtScale، ProtParam و PSIPred (لینک‌ها در تارنمای TMHMM و YLOC (Briesemeister et al., 2010)) مورد بررسی قرار گرفت. توالی پروتئینی بدست آمده به منظور یافتن پروتئین‌های مشابه در بانک‌های اطلاعاتی با استفاده از برنامه BLAST در مرکز ملی اطلاعات بیوتکنولوژی (NCBI) مورد جستجو قرار گرفته و تعدادی توالی پروتئینی از منابع مختلف که بیشترین شباهت را با توالی مورد نظر داشتند، انتخاب و برای همردیفسازی چندگانه و بررسی روابط فیلوجنتیکی با استفاده از نرم‌افزار ClustalW مورد استفاده قرار گرفتند.

پیش‌بینی ساختار سه بعدی توالی پروتئینی ژن

VvTrxh3

ساختار سه بعدی توالی پروتئینی ژن VvTrxh3 با استفاده از ساختار کریستالی پروتئین کد شده توسط ژن

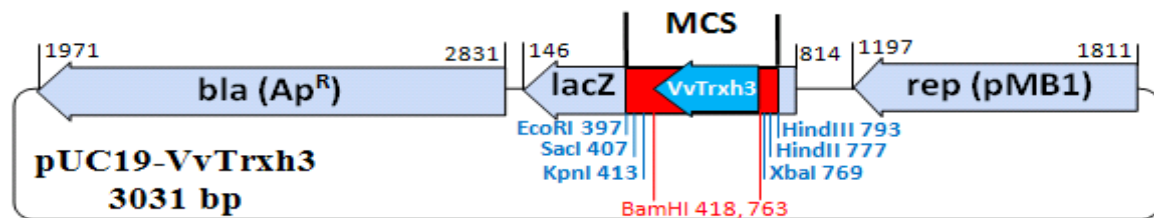
(P0AA27) E.coli :(*E. coli*) اشريشياكلي

نتایج و بحث

همسانه سازی cDNA کد کننده VvTrxh3 و بررسی خصوصیات بیوشیمیایی پروتئین بدست آمده

cDNA کد کننده VvTrxh3 با استفاده از تکنیک RT-PCR از بافت برگ انگور بیدانه سفید، جدا سازی و در ناقل پلاسمیدی pUC19 همسانه سازی شده (شکل ۱) و نتایج توالی یابی و بررسی با برنامه BLAST نشان داد که قطعه همسانه سازی شده در جهت معمولی، یک زن تیوردوکسین می باشد.

(AY245455) Hvh2، (AY245454) Hvh1 :(*vulgare* Osh2، (Q42443) Osh1 :(*Oryza sativa*) برج Rch1 :(*Ricinus communis*)؛ کرچک (Q9FRT3) (XP_002510456) Rch2، (XP_002534131) (Q07090) Nth2، (P29449) Nth1 :(*Nicotiana spp.*) Gmh1 :(*Glycine max*)؛ سویا (ACV52592) Nbh1 Msh :(*Medicago sativa*)؛ یونجه (ABV71991) Shiranuhi؛ رقم از جنس مرکبات (AAZ32865) (ABL67654) Csh :(*Citrus* cv. Shiranuhi) گریپ فروت (AY271308) Cph :(*Citrus paradisi*)؛ انسان (P10599) H.sapiens :(*H. sapiens*) باکتری



شکل ۱- ساختار ناقل نوترکیب pUC19-VvTrxh3 حاوی زن VvTrxh3 در جهت معمولی روی جایگاه چندگانه برای همسانه سازی (MCS). توالی مسئول رونوشتبرداری ناقل نوترکیب (pMB1)، زن های lacZ و مقاومت به آمپیسیلین (Ap^R) و جایگاه چندگانه برای همسانه سازی روی ناقل نوترکیب نشان داده شده اند.

نشان دهنده مقاوم بودن توالی پروتئینی این زن ها در برابر حرارت می باشد (Gelhaye et al., 2004a). همچنین شاخص ناپایداری آن در لوله آزمایش در حدود ۳۴/۴۷ بوده و در رسته پروتئین های پایدار تقسیم بندی می شود (Gasteiger et al., 2005).

ضریب خاموشی توالی پروتئینی زن VvTrxh3 در طول موج ۲۸۰ nm در محیط آب، در وضعیت اکسید شده ۱/۳ و در حالت احیاء شده برابر ۱/۲۹ تعیین گردید (Gelhaye et al., 2005). شاخص آب گریزی Kyte & Doolittle (Hydropathy)، نشان داد که توالی پروتئینی زن VvTrxh3 همانند توالی پروتئینی زن های Vvh4 و Vvh10، به دلیل خاصیت احیاء کنندگی بالا، به میزان زیادی آب گریز بوده (شکل ۲) و از مجموع کل اسیدهای آمینه، ۱۹ اسید آمینه با بار منفی (Asp+Glu) داشته، در حالی که تعداد کل اسیدهای آمینه با بار مثبت آن (Arg+Lys) برابر ۱۴ می باشد.

چارچوب باز خواندنی cDNA کد کننده VvTrxh3 ثبت شده در پایگاه توالی نوکلئوتیدی NCBI GenBank با شماره دستیابی HM370526، به طول ۳۴۵ bp باشد که با کدون ATG آغاز شده و با کدون TGA خاتمه یافته و یک پروتئین با ۱۱۴ اسید آمینه را کد می نماید (شکل ۲الف).

بررسی خصوصیات بیوشیمیایی پروتئین بدست آمده با استفاده از برنامه ProtParam نشان داد که وزن مولکولی محاسبه شده و نقطه آبزوالکتریک پیش بینی شده توالی پروتئینی زن VvTrxh3 با فرمول مولکولی C₅₇₅H₉₀₆N₁₄₆O₁₆₉S₇ و ۵/۰۶ می باشد.

مشابه با زن های همسانه سازی شده Vvh4 و Vvh10 از ارقام عسکری و یاقوتی (Mousavi et al., 2010)، شاخص VvTrxh3 Aliphatic ۷۳، به عنوان یک عامل مهم به منظور برآورد مقاومت پروتئین ها در برابر حرارت (Kim et al., 2008) ۸۷/۸۹ محسوسه گردید که

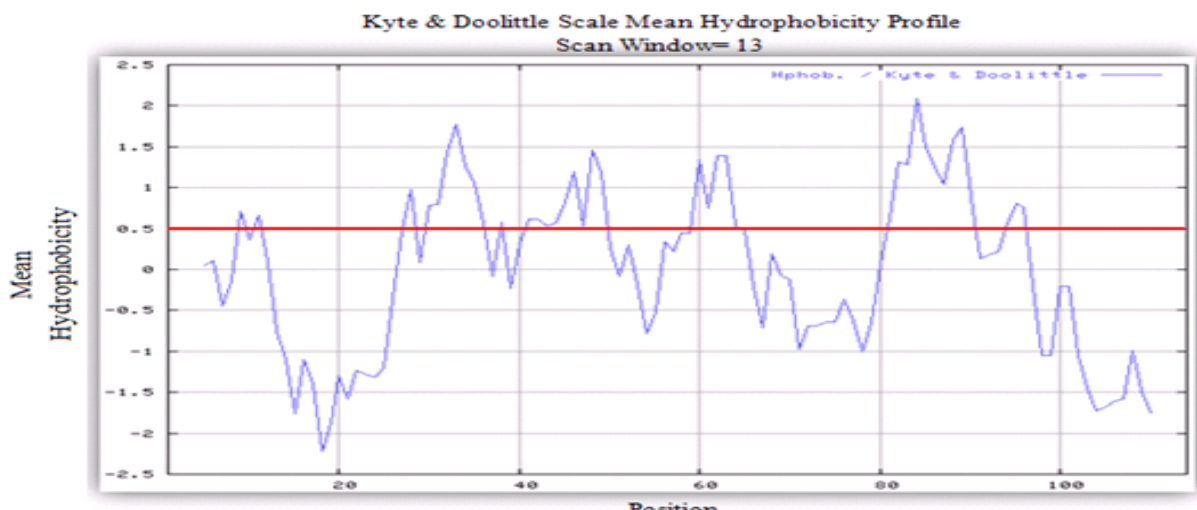
(الف)

```

1 ATGGCGGAAGAGGGACAAGTCTCGTTGCCACAGTGTGGAATCGTGGAAAGGAGCAATTCCAGCATGGA
1 M A E E G Q V L G C H S V E S W K E Q F Q H G
70 ATAGAGTCCAAGAAACTGGTGGTGGTGGATTCACTGCTTCATGGTGTGGGCCATGT CGTGTCAATTAGC
24 I E S K K L V V D F T A S W C G P C R V I S
139 CCATTATGGCAGAGCTGCCAAGAAGATGCCTAATGCGTATTCTCAAGGTGGATGTGGATGAATTG
47 P F M A E L A K K M P N V V F L K V D V D E L
208 GAGACTGTTGCTAAGGAGTGGGAAGTTGAGGCCATGCCAACCTTGTTAGAAGGAAACGTA
70 E T V A K E W E V E A M P T F V F L L E G N V
277 GTGGACAAGGTTGTGGGTGCAAAAAGAGAAGAACTGGTGCAGAAGACAGAGAACATGCAACTGCTTGA
93 V D K V V G A K R E E L V Q K T E K H A T A *

```

(ب)



شکل ۲- توالی نوکلئوتیدی، پروتئینی و شاخص آبگریزی (Hydropathy) زن VvTrxh3. (الف) توالی نوکلئوتیدی و پروتئینی. اسیدهای آمینه قرمز رنگ نشان دهنده موتیفهای ساختاری درگیر در انتقال سلول به سلول، اسیدهای آمینه آبی رنگ نشان دهنده توالی جایگاه فعال و اسیدآمینه نارنجی رنگ شامل اسیدآمینه تریپتوفان ویژه می‌باشند. همچنین کدونهای آغاز و پایان چارچوب باز خواندنی به ترتیب با رنگ‌های سبز و قهوه‌ای نشان داده شده‌اند. (ب) بررسی شاخص Hydropathy توالی پروتئینی زن VvTrxh3 دومین‌های آبگریز در بالا و دومین‌های آبدوست در زیر خط قرمز رنگ قرار دارند.

بررسی توالی اسیدآمینه‌ای و موتیفهای ساختاری توالی پروتئینی زن VvTrxh3

بررسی توالی اسیدآمینه‌ای نشان داد که برخلاف توالی پلی‌پیتیدی زن Vvh10 از انگور یاقوتی (Mousavi et al., 2010) توالی پروتئینی زن VvTrxh3 همانند زن Vvh4 از انگور عسکری، دارای یک جایگاه فعال معمول WCGPC (Trp-Cys₃₉-Gly-Pro-Cys₄₂) بوده که در هر سه زیرگروه از تیوردوکسین‌های نوع h مشاهده می‌شود.

پیش‌بینی موقعیت زیرسلولی این پروتئین با برنامه YLOC نشان داد که برخلاف تعدادی از تیوردوکسین‌های نوع h که محل فعالیت آن‌ها درون میتوکندری، شبکه آندوبلاسمی و روی غشای پلاسمایی است (Gelhaye et al., 2004b; Alkhalfioui et al., 2008; Meng et al., 2010) VvTrxh3 مشابه با زن‌های Vvh4 و Vvh10، از نوع سیتوپلاسمی بوده و محل فعالیتش درون سیتوزول قرار دارد.

ژن‌های Vvh4 و Vvh10، توالی پروتئینی ژن VvTrxh3 با داشتن بخش‌های غشائی و خارج سلولی، می‌تواند انتقال پلاسمودسمایی داشته باشد، البته این فعالیت منحصر به فرد نیاز به بررسی‌های دقیق‌تری دارد. بررسی توالی اسیدآمینه‌ای بدست آمده با برنامه‌های ConSeq و PatchFinder منجر به شناسایی اسیدهای امینه مهم از Val7، Cys42، Ala36، Phe34، Cys39، Trp38، Ala36، Pro41، Cys42، Asp67، Val66، Asp65، Lys63، Phe61، Pro47، Gly98، Val97، Lys88، Thr83، Pro82، Met81 و Ala99 (شکل ۴).

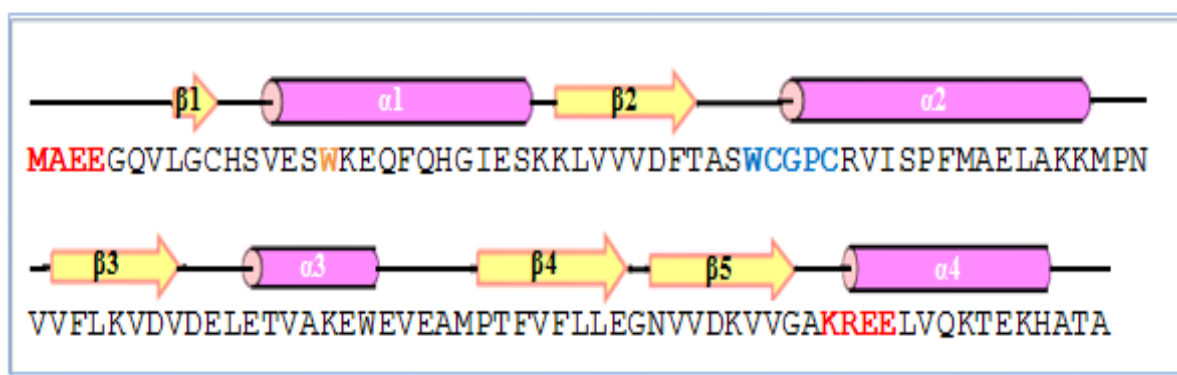
بررسی ساختار دوم و سوم توالی پروتئینی ژن VvTrxh3

بررسی ساختار دوم توالی پروتئینی ژن VvTrxh3 با استفاده از برنامه PSIPred نشان داد که این پروتئین و به طور کلی تیوردوکسین‌ها، حاوی ۵ صفحه β و ۴ مارپیچ α می‌باشد که به ترتیب $\beta_1\alpha_1\beta_2\alpha_2\beta_3\alpha_3\beta_4\beta_5\alpha_4$ قرار می‌گیرند (Shahpuri et al., 2009)، به طوری که جایگاه فعال WCGPC مابین انتهای کربوکسیل صفحه β_2 و انتهای آمینوی مارپیچ α_2 به شکلی قرار گرفته است که اسیدهای امینه Gly40، Pro41 و Cys42 در انتهای آمینوی مارپیچ α_2 واقع شده‌اند (شکل ۳).

به جزء تیوردوکسین Osh1 از گیاه برنج (*O. sativa*) تیوردوکسین انسانی (*H. sapiens*) و پروتئین *E. coli* تمام تیوردوکسین‌های نوع *h* که تاکنون شناسایی شده‌اند، دارای یک اسیدآمینه تریپتوфан ویژه می‌باشند که یک ضریب خاموشی در حدود ۲۹۰ nm را به تیوردوکسین‌ها می‌دهد (Gelhaye et al., 2004a) (et al., 2004a). این اسیدآمینه تریپتوfan ویژه، در موقعیت ۱۶ توالی پروتئینی ژن VvTrxh3 و ژن‌های Ishiwatari et al. (1998) یک تیوردوکسین نوع *h* تحت عنوان Osh1 را از بافت آوند آبکش گیاه برنج شناسایی نمودند که برای انتقال در لوله‌های بافت آبکش از طریق پلاسمودسماata به متیفهای ساختاری MAAEE و RKDD نیازمند می‌باشد.

این متیفها تنها در تیوردوکسین‌های گیاهان عالی یافت شده و در تیوردوکسین‌های باکتری‌ها، پستانداران و جلبک‌ها دیده نشده‌اند (Peterson et al., 2005). در انتهای آمینوی توالی پروتئینی ژن VvTrxh3 و ژن‌های Vvh10 و Vvh4، یک توالی MAEE مشاهده شد که مشابه با توالی موجود در انتهای آمینوی آیزوفرم Osh1 است. همچنین در انتهای کربوکسیل آن‌ها یک متیف KREE مشاهده شد، در حالی که این متیف تنها در آیزوفرم Ath1 و به صورت KKDE وجود دارد.

بررسی‌ها با برنامه TMHMM نشان داد که مشابه با



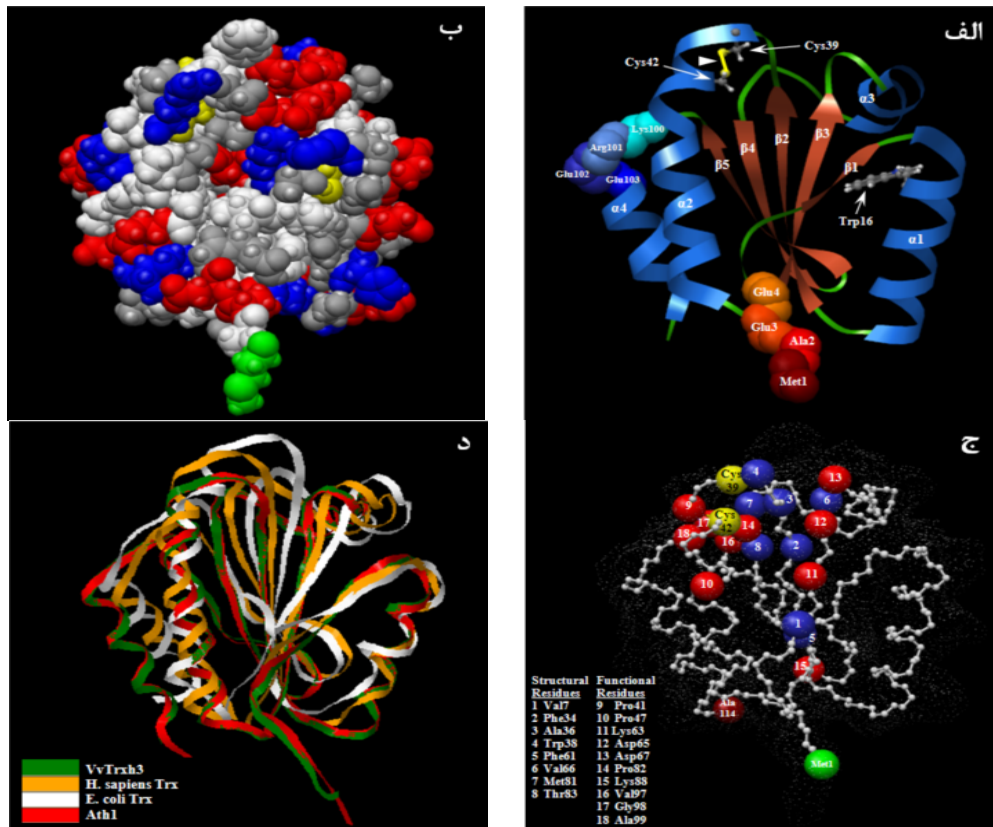
شکل ۳- ساختار دو بعدی توالی پروتئینی ژن VvTrxh3 با استفاده از برنامه PSIPred. اسیدهای امینه جایگاه فعال، متیفهای ساختاری درگیر در انتقال سلول به سلول و اسیدآمینه تریپتوfan ویژه به ترتیب با رنگ‌های آبی، قرمز و نارنجی نشان داده شده‌اند.

تعیین گردیده به طوری که مشابه با ساختار سه بعدی ژن Vvh4، صفحات β_1 , β_2 , β_3 و β_5 به صورت موازی و صفحه β_4 به صورت غیرموازی، طوری کنار هم قرار

ساختار سه بعدی توالی پروتئینی ژن VvTrxh3 با استفاده از I-TASSER و با استفاده از ساختار بوسیله برنامه کریستالی آیزوفرم Ath1 از آرابیدوپسیس به عنوان الگو

که برای حضور و فعالیت جایگاه فعال WCGPC بسیار ضروری است (Jacquot et al., 1997).

می‌گیرند که یک صفحه چین داری را تشکیل داده و توسط مارپیچ‌های α احاطه می‌شوند (شکل ۴ج). این نوع سازماندهی به عنوان پیچ و تاب خودگی مختص تیوردوکسین‌ها (Thioredoxin Fold) شناخته می‌شود.



شکل ۴- مدل‌های سه بعدی توالی پروتئینی ژن VvTrxh3 (Ribbon) توالی پروتئینی ژن VvTrxh3. مارپیچ‌های α ، صفحات β و نواحی مارپیچ پیچیده به طور مشخص در ساختار سه بعدی قابل مشاهده می‌باشند. اسیدهای آمینه سیستئین جایگاه فعال و اسیدآمینه تریپتوфан ویژه به شکل میله- توب (Ball-stick) و با علامت فلش به همراه باند دی- سولفیدی بین دو اسیدآمینه سیستئین جایگاه فعال با علامت مثلث نشان داده شده‌اند. اسیدهای آمینه موجود در موتیف‌های ساختاری انتهای آمینو و انتهای کربوکسیل درگیر در انتقال سلول به شکل کروی (Sphere) و به ترتیب با رنگ‌های قرمز و آبی نشان داده شده‌اند. ب) توزیع اسیدهای آمینه با بار مثبت، قرمز: اسیدهای آمینه با بار منفی)، قطعی (خاکستری) و آب‌گریز (سفید) در سطح پروتئین VvTrxh3. اسیدآمینه متنوین آغازین و اسیدهای آمینه سیستئین به ترتیب با رنگ‌های سبز و زرد نشان داده شده‌اند. ج) نمایش اسیدهای آمینه از نظر ساختاری و فعالیت در سطح پروتئین به ترتیب با رنگ‌های آبی و قرمز به همراه سطح واندروالسی ۰٪: اسیدآمینه متنوین آغازین و اسیدهای آمینه سیستئین موجود در جایگاه فعال به ترتیب با رنگ‌های سبز و زرد نشان داده شده‌اند. د) مقایسه ساختار سه بعدی توالی پروتئینی ژن VvTrxh3 (سبز رنگ) با ساختارهای سه بعدی پروتئین تیوردوکسین انسانی (زرد رنگ)، پروتئین تیوردوکسین از *E. coli* (سفید رنگ) و Ath1 (آبی‌دوسیس (قرمز رنگ).

انتهای آمینو، β_1 , β_2 و β_3 , به صورت موازی با هم قرار گرفته‌اند در حالی که صفحات β از موتیف انتهای کربوکسیل، β_4 و β_5 , به صورت غیرموازی در کنار هم واقع شده‌اند. این طرز قرارگیری صفحات β در دو ناحیه،

ساختار سه بعدی پروتئین می‌تواند به یک موتیف $\beta\alpha\beta\alpha\beta$ انتهای آمینو و یک موتیف $\beta\beta\alpha$ انتهای کربوکسیل تقسیم‌بندی شود که توسط یک مارپیچ α_3 به یکدیگر متصل می‌شوند. صفحات β از موتیف

نمایش می‌دهد. ساختار سه بعدی VvTrxh3 با ساختارهای سه بعدی پروتئین تیوردوکسین انسانی، پروتئین تیوردوکسین از *E. coli* و پروتئین کد شده توسط زن Ath1 از گیاه مدل آرابیدوپسیس به طور کامل منطبق می‌باشد (شکل ۵).

مقایسه زن VvTrxh3 با تیوردوکسین‌های نوع h از گیاهان دیگر

توالی پروتئینی زن VvTrxh3 با سایر تیوردوکسین‌های نوع h از گیاهان دیگر مورد مقایسه قرار گرفته و مشاهده شد که بالاترین تشابه را با آیزوفرم‌های Pth3 از shiranuhi گیاه صنوبر (*P. trichocarpa*, *Csh* از رقم Csh cv. shiranuhi) متعلق به جنس مرکبات (*Citrus*)، *N. benthamiana* (R. comunis) و *Rch1* از *Nbh1* گیاه کرچک (R. comunis) به ترتیب به میزان٪۸۹ (با٪۷۱ یکسانی)،٪۸۶ (با٪۷۲ یکسانی)،٪۸۵ (با٪۷۲ یکسانی)،٪۸۵ (با٪۷۱ یکسانی) دارد (شکل ۵). همچنین٪۸۲ VvTrxh3 و٪۶۶ یکسانی را با زن Ath1 از آرابیدوپسیس که به عنوان یک الگو برای مدل‌سازی مقایسه‌ای ساختار سه بعدی پیش‌بینی شده استفاده شد را نشان داد.

از خصوصیات بارز پروتئین‌ها با ساختار سه بعدی Thioredoxin Fold می‌باشد (Martin et al., 1995) و بیزگی دیگر ساختار سه بعدی توالی پروتئینی زن VvTrxh3 و به طور کلی تیوردوکسین‌ها، نحوه آرایش مارپیچ‌های α در اطراف صفحات مرکزی β می‌باشد. مارپیچ‌های α_1 ، α_2 و α_4 از موتیف‌های انتهایی آمینو و کربوکسیل، در وضعیت موازی با یکدیگر و صفحات β قرار داشته در حالی که مارپیچ α_3 به صورت عمود بر مارپیچ‌های α و صفحات β واقع شده است. مارپیچ‌های α_1 و α_3 در یک طرف و مارپیچ‌های α_2 و α_4 نیز در طرف دیگر صفحات β قرار دارند (Jacquot et al., 1997). اسیدهای آمینه جایگاه فعال به شکل بیرون‌زدگی در انتهای کربوکسیل صفحه β_2 و آغاز مارپیچ α_2 قرار گرفته‌اند به طوری که اسیدآمینه سیستئین انتهایی آمینوی جایگاه فعال (Cys₃₉) نسبت به اسیدآمینه سیستئین انتهایی کربوکسیل جایگاه فعال (Cys₄₂) در واکنش دی‌تیول‌دی‌سولفید، بیشتر در Maeda et al., 2008) توزیع اسیدهای آمینه یونی، قطبی و آب‌گریز در سطح پروتئین در شکل ۴ ب نشان داده شده است و شکل ۴ج نیز توزیع اسیدهای آمینه مهم از نظر ساختاری و فعالیت در سطح پروتئین VvTrxh3 را



شکل ۵- همردیف‌سازی چندگانه زن VvTrxh3 با آیزوفرم‌های نوع h انگور، سایر گیاهان و زن‌های تیوردوکسین انسانی و *E. coli* با استفاده از نرم‌افزار ClustalW. جایگاه فعال، موتیف‌های ساختاری در گیر در انتقال سلول به سلول و اسیدآمینه تریپتوفان و بیزه به ترتیب با کادرهای آبی، قرمز رنگ و علامت مثلث نشان داده شده‌اند. نواحی تیره و نیمه روشن به ترتیب نشان دهنده اسیدهای آمینه کاملاً محافظت شده و نیمه محافظت شده می‌باشد. همچنین علامت * نشان دهنده اسیدهای آمینه کاملاً یکسان و علامت . نمایان گر اسیدهای آمینه مشابه می‌باشد. شماره دستیابی زن‌ها در بخش مواد و روش‌ها آورده شده است.

(*h*III) به میزان ۶۸٪ تا ۶۰٪ دارد. از بین آیزوفرم‌های *Vvh4* به بیشترین تشابه را با آیزوفرم‌های *Vvh2* و *Vvh1* (با ۹۶٪ یکسانی) و کمترین تشابه را با آیزوفرم‌های *Vvh10* و *Vvh1* (با ۸۰٪ و ۷۹٪ دارد. جدول ۱ میزان شباهت و یکسانی ژن *VvTrxh3* را در سطح DNA و پروتئین با سایر آیزوفرم‌های انگور نشان می‌دهد.

در مقایسه با تیوردوکسین‌های گیاهی، *VvTrxh3* شباهت کمتری را با پروتئین تیوردوکسین انسانی (۷۱٪/۵۲٪ یکسانی) و پروتئین تیوردوکسین از *E. coli* (۷۹٪/۵۷٪ یکسانی) نشان داد. ژن *VvTrxh3* در مقایسه با تیوردوکسین‌های نوع *h* انگور، بیشترین تشابه را با آیزوفرم‌های زیرگروه I (*hI*)، از ۷۹٪/۹۹٪ و کمترین تشابه را با آیزوفرم‌های زیرگروه III

جدول ۱- میزان یکسانی و شباهت ژن *VvTrxh3* در سطح پروتئین و DNA با سایر آیزوفرم‌های انگور.

DNA	پروتئین		آیزوفرم‌ها
	درصد تشابه	درصد یکسانی	
۷۰	۸۰	۶۶	<i>Vvh1</i>
۹۸	۹۹	۹۶	<i>Vvh2</i>
۹۹	۹۹	۹۶	<i>Vvh4</i>
۴۸	۷۰	۵۰	<i>Vvh5</i>
۴۱	۶۸	۴۳	<i>Vvh6</i>
۹۱	۷۹	۷۵	<i>Vvh10</i>
۴۵	۶۰	۴۰	<i>VvCxxS1</i>

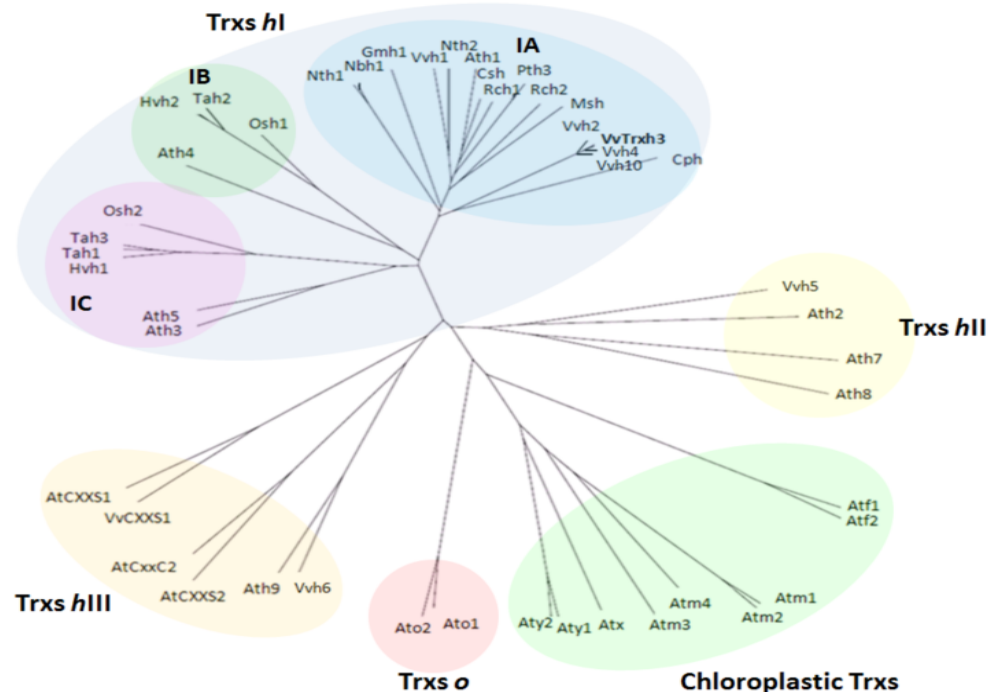
بررسی فیلوجنتیکی نشان می‌دهد که تیوردوکسین‌های نوع *h* خود به سه زیرگروه I، II و III تقسیم‌بندی می‌شوند. تیوردوکسین‌های نوع *h*، زیرگروه I (*hI*) توسط آنزیم NTR احیاء شده و دارای جایگاه WC[G/P]PC می‌باشند (Gelhaye et al., 2004a). این زیرگروه از تیوردوکسین‌های نوع *h*، سیتوزولی بوده و با داشتن موتیفهای ساختاری درگیر در انتقال سلول به سلول، در تنظیم ردوكس ترکیبات بافت آوندی دخالت داشته و قبل از انتقال از طریق پلاسمودسماتا به درون عناصر آوند آبکش، در سلول‌های جانبی بافت آوند آبکشی سنتر می‌شوند (Ishiwatari et al., 1998). تیوردوکسین‌های *hI* به سه زیرکلاس IA، IB و IC تقسیم‌بندی می‌شوند که ژن *VvTrxh3* به همراه ژن‌های *Vvh4* و *Vvh10* و سایر تیوردوکسین‌های مورد استفاده در تهیه همردیفسازی چندگانه، به زیرکلاس IA تعلق دارند. زیرکلاس‌های IB و IC نیز شامل تیوردوکسین‌های نوع *h* از گیاه آرابیدوپسیس و غلات می‌باشند. تیوردوکسین‌های نوع *h* زیرگروه II (*hII*) نیز همانند تیوردوکسین‌های *hI* توسط آنزیم NTR احیاء شده و دارای جایگاه WC[GPC] می‌باشند. ویژگی اصلی آن‌ها، وجود یک انتهای آمینو با طول زیاد می-

ژن *VvTrxh3* به زیرکلاس و بیژه‌ای از تیوردوکسین-های نوع *h* تعلق دارد

Gelhaye et al. (2004b) با بررسی‌های فیلوجنتیکی روی انواع تیوردوکسین‌های آرابیدوپسیس نشان دادند که تیوردوکسین‌های این گیاه به سه گروه اصلی، شامل: ۴ نوع تیوردوکسین کلروپلاستی *f*، *m* و *x* و ۷ نوع تیوردوکسین‌های *o* با موقعیت زیرسلولی میتوکندریایی و تیوردوکسین‌های نوع *h* تقسیم‌بندی می‌شوند.

بررسی‌های آن‌ها نشان داد که تیوردوکسین‌های نوع *h* نیز شامل سه زیرگروه بوده و هر زیرگروه خود به چند زیرکلاس تقسیم‌بندی می‌شود. Meyer et al. (2008) نیز طی بررسی‌های خود نتایج مشابهی را بدست آوردند. بررسی فیلوجنتیکی با استفاده از انواع مختلف تیوردوکسین‌های آرابیدوپسیس و تیوردوکسین‌های نوع *h* سایر گیاهان به روش Unrooted-Neighbor Joining با استفاده از نرم افزار ClustalW نشان داد که تیوردوکسین‌ها به سه گروه اصلی کلروپلاستی، تیوردوکسین‌های *o* و تیوردوکسین‌های نوع *h* تقسیم‌بندی شده به طوری که ژن *VvTrxh3* به همراه سایر آیزوفرم‌های انگور در گروه تیوردوکسین‌های نوع *h* قرار می‌گیرد (شکل ۶).

باشد. تیوردوکسین‌های *hII* شامل آیزوفرم‌های *Vvh5*, *Ath8*, *Ath7* و *Ath2* می‌باشند.



شکل ۶- درخت فیلوجنتیکی رسم شده با استفاده از نرمافزار ClustalW به منظور نشان دادن نوع، زیرگروه و زیرکلاس ژن *Vvh3* با استفاده از انواع تیوردوکسین‌های آرابیدوپسیس، تیوردوکسین‌های نوع *h* انگور و سایر گیاهان. شماره دستیابی ژن‌ها در بخش مواد و روش‌ها آورده شده است.

تیوردوکسین‌های نوع *h* از گیاه آرابیدوپسیس و غلات می‌باشند. تیوردوکسین‌های نوع *h* زیرگروه *hII* (II) نیز همانند تیوردوکسین‌های *hI* توسط آنزیم NTR احیاء شده و دارای جایگاه فعال WCGPC می‌باشند. ویژگی اصلی آن‌ها، وجود یک انتهای آمینو با طول زیاد می‌باشد. تیوردوکسین‌های *hII* شامل تیوردوکسین‌های *Vvh5*, *Ath8*, *Ath7* و *Ath2* می‌باشند. سومین زیرگروه از تیوردوکسین‌های نوع *h* شامل تیوردوکسین‌هایی با جایگاه فعال معمول WCGPC و تیوردوکسین‌های ناهنجار CxxS می‌باشند که ویژگی اصلی آن‌ها واکنش با سیستم گلوتاردوکسین/گلوتاتیون (Grx/GSH) می‌باشد (Gelhaye et al., 2003). از جمله این تیوردوکسین‌ها می‌توان به آیزوفرم‌های *Vvh6* و *Vvh1* انگور و آیزوفرم‌های *Ath9*, *AtCxxS1*, *AtCxxS2* و *AtCxxC2* اشاره نمود. بررسی فیلوجنتیکی در مورد تقسیم‌بندی تیوردوکسین‌های آرابیدوپسیس و

بررسی فیلوجنتیکی نشان می‌دهد که تیوردوکسین‌های نوع *h* خود به سه زیرگروه I, II و III تقسیم‌بندی می‌شوند. تیوردوکسین‌های نوع *h* زیرگروه I (III) توسط آنزیم NTR احیاء شده و دارای جایگاه فعال WC[G/P]PC می‌باشند (Gelhaye et al., 2004a). این زیرگروه از تیوردوکسین‌های نوع *h* سیتوزولی بوده و با داشتن موتیف‌های ساختاری درگیر در انتقال سلول به سلول، در تنظیم ردوكس ترکیبات بافت آوندی دخالت داشته و قبل از انتقال از طریق پلاسمودسماتا به درون عناصر آوند آبکش، در سلول‌های جانبی بافت آوند آبکشی سنتز می‌شوند (Ishiwatari et al., 1998). تیوردوکسین‌های *hI* به سه زیرکلاس IC, IB و IA تقسیم‌بندی می‌شوند که ژن *Vvh3* به همراه ژن‌های *Vvh10* و *Vvh4* و سایر تیوردوکسین‌های مورد استفاده در تهیه همردیفسازی چندگانه، به زیرکلاس IA تعلق دارند. زیرکلاس‌های IB و IC نیز شامل

تیوردوکسین‌های نوع *h* گیاهان دیگر داشته و به زیرکلاس ویژه‌ای از تیوردوکسین‌های نوع *h* زیرگروه I تعلق دارد.

سپاسگزاری

نویسنده‌گان مراتب تشکر و قدردانی خود را از همکاری صمیمانه مدیریت محترم مرکز تحقیقات کشاورزی و منابع طبیعی استان قزوین، جناب آقای دکتر نوری و همچنین جناب آقای دکتر نجاتیان، مدیریت محترم ایستگاه تحقیقات انگور تاکستان، جناب آقایان مهندس رسولی و مهندس فدائی که ما را در امر نمونه‌برداری یاری نمودند، ابراز می‌دارند.

تیوردوکسین‌های نوع *h* سایر گیاهان مشابه با نتایج موجود می‌باشد (Gelhaye et al., 2004a, 2005).
نتیجه‌گیری کلی

در این بررسی یک cDNA کامل تیوردوکسین نوع *h*، تحت عنوان VvTrxh3، از بافت برگ گیاه انگور (*V. vinifera*) یک رقم ایرانی (بیدانه سفید) با استفاده از واکنش RT-PCR جداسازی و همسانه‌سازی گردیده و ویژگی‌های بیوشیمیایی آن مورد بررسی قرار گرفت. با استفاده از بررسی‌های مدل‌سازی ساختاری نشان داده شد که VvTrxh3 مشابه با سایر تیوردوکسین‌ها، دارای ساختار Thioredoxin Fold بوده و بررسی‌های همولوژی و فیلوژنتیکی نشان داد که این ژن شباهت بالایی با

REFERENCES

- Alkhaifioui, F., Renard, M., Vensel, W. H., Wong, J., Tanaka, C. K., Hurkman, W. J., Buchanan, B. B. & Montrichard, F. (2007). Thioredoxin-linked proteins are reduced during germination of *Medicago truncatula* seeds. *Plant Physiology*, 144, 1559–1579.
- Alkhalifioui, F., Renard, M., Frendo, P., Keichinger, C., Meyer, Y., Gelhaye, E., Hirasawa, M., Knaff, D. B., Ritzenthaler, C. & Montrichard, F. (2008). A novel type of thioredoxin dedicated to symbiosis in legumes. *Plant Physiology*, 148, 424–435.
- Ashkenazy, H., Erez, E., Martz, E., Pupko, T. & Ben-Tal, N. (2010). ConSurf 2010: calculating evolutionary conservation in sequence and structure of proteins and nucleic acids. Retrieved May 16, 2010, from <http://creativecommons.org/licenses/by-nc/2.5>
- Briesemeister, S., Rahnenführer, J. & Kohlbacher, O. (2010). Going from where to why. interpretable prediction of protein subcellular localization. *Bioinformatics*, 26(9), 1232–8.
- Cazalis, R., Pulido, P., Aussenac, T., Perez-Ruiz, J. M. & Cejudo, F. J. (2006). Cloning and characterization of three thioredoxin *h* isoforms from wheat showing differential expression in seeds. *Journal of Experimental Botany*, 57, 2165–2172.
- Gasteiger, E., Hoogland, C., Gattiker, A., Duvaud, S., Wilkins, M. R., Appel, R. D. & Bairoch, A. (2005). Protein identification and analysis tools on the ExPASy server. In: J. M. Walker (Ed), *The proteomics protocols handbook*. (pp. 571-607.) Humana Press.
- Gelhaye, E., Rouhier, N. & Jacquot, J. P. (2003). Evidence for a subgroup of thioredoxin *h* that requires GSH/Grx for its reduction. *Federation of European Biochemical Societies Letters*, 555, 443–448.
- Gelhaye, E., Rouhier, N. & Jacquot, J. P. (2004a). The thioredoxin *h* system of higher plants. *Plant Physiology and Biochemistry*, 42, 265–271.
- Gelhaye, E., Rouhier, N., Gerard, J., Jolivet, Y., Gualberto, J., Navrot, N., Ohlsson, P. I., Wingsle, G., Hirasawa, M., Knaff, D. B., Wang, H., Dizengremel, P., Meyer, Y. & Jacquot, J. P. (2004b). A specific form of thioredoxin *h* occurs in plant mitochondria and regulates the alternative oxidase. *Plant Biology*, 101(40), 14545–14550.
- Gelhaye, E., Rouhier, N., Navrot, N. & Jacquot, J. P. (2005). The plant thioredoxin system. *Cell Molecular and Life Science*, 62, 24–35.
- Haffani, Y. Z., Gaude, T., Cock, J. M. & Goring, D. R. (2004). Antisense suppression of thioredoxin *h* mRNA in *Brassica napus* cv. Westar pistils causes a low level constitutive pollen rejection response. *Plant Molecular Biology*, 55, 619–630.
- Ishiwatari, Y., Fujiwara, T., McFarland, K. C., Nemoto, K., Hayashi, H., Chino, M. & Lucas, W. J. (1998). Rice phloem thioredoxin *h* has the capacity to mediate its own cell-to-cell transport through plasmodesmata. *Planta*, 205, 12–22.
- Jacquot, J. P., Lancelin, J. M. & Meyer, Y. (1997). Thioredoxin: structure and function in plant cells. *New Phytology*, 136, 543–570.
- Joudrier, P., Gautier, M. F., de Lamotte, F. & Kobrehel, K. (2005). The thioredoxin *h* system: potential applications. *Biotechnology Advances*, 23, 81–85.

15. Juttner, J., Olde, D., Langridge, P. & Baumann U. (2000). Cloning and expression of a distinct subclass of plant thioredoxins. *European Journal of Biochemistry*, 267, 7109–7117.
16. Katti, S., Le Master, D. & Eklund, H. (1990). Crystal structure of thioredoxin from *Escherichia coli* at 1.68A° resolution. *Journal of Molecular Biology*, 212, 167–184.
17. Kim, Y. J., Shim, J. S., Krishna, P. R., Kim, S. Y., In, J. G., Kim, M. K. & Kim, D. C. (2008). Isolation and characterization of a glutaredoxin gene from *Panax ginseng* C. A. Meyer. *Plant Molecular Biology Report*, 26, 335–349.
18. Kyte, J. & Doolittle, R. F. (1982). A simple method for displaying the hydrophobic character of a protein. *Journal of Molecular Biology*, 157, 105–32.
19. Laloi, C., Mestres, O. D., Marco, Y., Meyer, Y. & Reichheld, J. P. (2004). The *Arabidopsis* cytosolic thioredoxin *h5* gene induction by oxidative stress and its w-box-mediated response to pathogen elicitor. *Plant Physiology*, 134, 1006–1016.
20. Laloi, C., Rayapuram, N., Chartier, Y., Grienberger, J. M., Bonnard, G. & Meyer, Y. (2001). Identification and characterization of a mitochondrial thioredoxin system in plants. *Proceedings of the National Academy of Sciences*, 98, 14144–14149.
21. Lemaire, S D., Michelet, L., Zaffagnini, M., Massot, V. & Issakidis-Bourguet, E. (2007). Thioredoxins in chloroplasts. *Current Genet*, 51, 343–365.
22. Maeda, K., Finnie, C., Ostergaard, O. & Svensson, B. (2003). Identification, cloning and characterization of two thioredoxin *h* isoforms, *HvTrxh1* and *HvTrxh2*, from the barley seed proteome. *European Journal of Biochemistry*, 270, 2633–43.
23. Maeda, K., Hagglund, P., Finnie, C., Svensson, B. & Henriksen, A. (2008). Crystal structures of barley thioredoxin *h* isoforms *HvTrxh1* and *HvTrxh2* reveal features involved in protein recognition and possibly in discriminating the isoform specificity. *Protein Science*, 17, 1015–1024.
24. Martin, J. L. (1995). Thioredoxin- a fold for all reasons: the thioredoxin fold is a characteristic protein structural motif that has been found in five distinct classes of proteins that have the common property of interacting with cysteine-containing substrates. *Current Biology*, 3, 245–250.
25. Meng, L., Wong, J. H., Feldman, L. J., Lemaux, P. G. & Buchanan, B. B. (2010). A membrane-associated thioredoxin required for plant growth moves from cell to cell, suggestive of a role in intercellular communication. *Proceedings of the National Academy of Sciences*, 107(8), 3900–3905.
26. Meyer, Y., Siala, W., Bashandy, T., Riondet, C., Vignols, F. & Reichheld, J. P. (2008). Glutaredoxins and thioredoxins in plants. *Biochimica et Biophysica Acta*, 1783, 589–600.
27. Moussavi, S. S., Haddad, R., Garousi, G. A. & Hosseini, R. (2010). Identification, cloning and characterization of a thioredoxin *h* (*VvTrxh10*) gene isolated from grape (*Vitis vinifera* L.) cv. Yaquiti berry tissue. *Agricultural Biotechnology*, 9(1), 17–26. (In Farsi)
28. Nimrod, G., Schushan, M., Steinberg, D. M. & Ben-Tal, N. (2008). Detection of functionally important regions in hypothetical proteins of known structure. *Structure*, 16, 1755–1763.
29. Park, S. K., Jung, Y. J., Lee, J. R., Lee, Y. M., Jang, H. H., Lee, S. S., Park, J. H., Kim, S. Y., Moon, J. C., Lee, S. Y., Chae, H. B., Shin, M. R., Jung, J. H., Kim, M. G., Kim, W. Y., Yun, D. J., Lee, K. O. & Lee, S. Y. (2009). Heat-shock and redox-dependent functional switching of an *h*-type *Arabidopsis* thioredoxin from a disulfide reductase to a molecular chaperone. *Plant Physiology*, 150, 552–561.
30. Peterson, F. C., Lytle, B. L., Sampath, S., Vinarov, D., Tyler, E., Shaham, M., Markley, J. L. & Volkman, B. F. (2005). Solution structure of thioredoxin *h1* from *Arabidopsis thaliana*. *Protein Structure Report*, 14, 2195–200.
31. Reichheld, J. P., Mestres-Ortega, D., Laloi, C. & Meyer, Y. (2002). The multigenic family of thioredoxin *h* in *Arabidopsis thaliana*: specific expression and stress response. *Plant Physiology and Biochemistry*, 40, 685–690.
32. Reid, K. E., Olsson, N., Schlosser, J., Peng, F. & Lund, S. T. (2006). An optimized grapevine RNA isolation procedure and statistical determination of reference genes for real-time RT-PCR during berry development. *BioMed Central Plant Biology*, 6, 27–37.
33. Russell, R. B., Breed, J. & Barton, G. J. (1992). Conservation analysis and secondary structure prediction of the SH₂ family of phosphotyrosine binding domains. *Federation of European Biochemical Societies Letters*, 304, 15–20.
34. Sambrook, J. & Russell, D. W. (2001). *Molecular cloning: a laboratory manual* (3rd ed. Vol:1-3.). Cold Spring Harbor.
35. Serrato, A. J. & Cejudo, F. J. (2003). Type-*h* thioredoxins accumulate in the nucleus of developing wheat seed tissues suffering oxidative stress. *Planta*, 217, 392–399.
36. Serrato, A. J., Crespo, J. L., Florencio, F. J. & Cejudo, F. J. (2001). Characterization of two thioredoxins *h* with predominant localization in the nucleus of aleurone and scutellum cells of germinating wheat seeds. *Plant Molecular Biology*, 46, 361–371.

37. Shahpiri, A., Svensson, B. & Finnie, C. (2009). From proteomics to strutural studies of cytosolic/mitochondrial-type thioredoxin systems in barely seeds. *Molecular Plant*, 1–12.
38. Weichsel, A., Gasdaska, J. R., Powis, G., Montfort, W. R. (1996). Crystal structures of reduced, oxidized, and mutated human thioredoxins: evidence for a regulatory homodimer. *Structure*, 4, 735–751
39. Zhang, Y. (2008). I-TASSER server for protein 3D structure prediction. *BioMed Central Bioinformatics*, 9, 40–26.